

제 8회 부채널정보분석경진대회 기업이 주는 우수 인재상

NIST PQC Dilithium의 부채널 공격 및 대응 기법 동향 분석

Kookmin University Sung-Hwan Yoo, Dong-Guk Han

I. Introduction

- 양자내성암호(PQC)의 수요에 따라 NIST PQC에서는 PKE/KEM과 Digital Signature 부분에서 표준 알고리즘을 선정하였다.

Table 1. NIST PQC Standard Algorithm

| PKE/KEM | | Digital Signature | | |
|---------|-----|-------------------|--------|----------|
| Kyber | HQC | Dilithium | Falcon | SPHINCS+ |

- 표준화로 인한 산업 활용도 측면에서 알고리즘의 안전성 분석 연구는 꾸준히 진행되며 이에 대한 동향 정리 역시 필요하다.
- 따라서 전자서명에서 표준으로 선정된 Dilithium의 부채널 공격 및 대응 기법 동향 분석을 진행한 후 향후 안전한 대응 기법에 대해 모색한다.

II. NIST PQC Dilithium

- Dilithium은 MLWE(Module Learning With Error)와 SIS(Short Integer Solution)을 기반으로 하는 격자 기반 전자서명 알고리즘이다.
- Keccak 기반 해시 함수를 통해 Uniform Sampling을 수행하며, NTT와 SampleBall 개념을 활용하여 연산 및 Challenge 값을 생성한다.

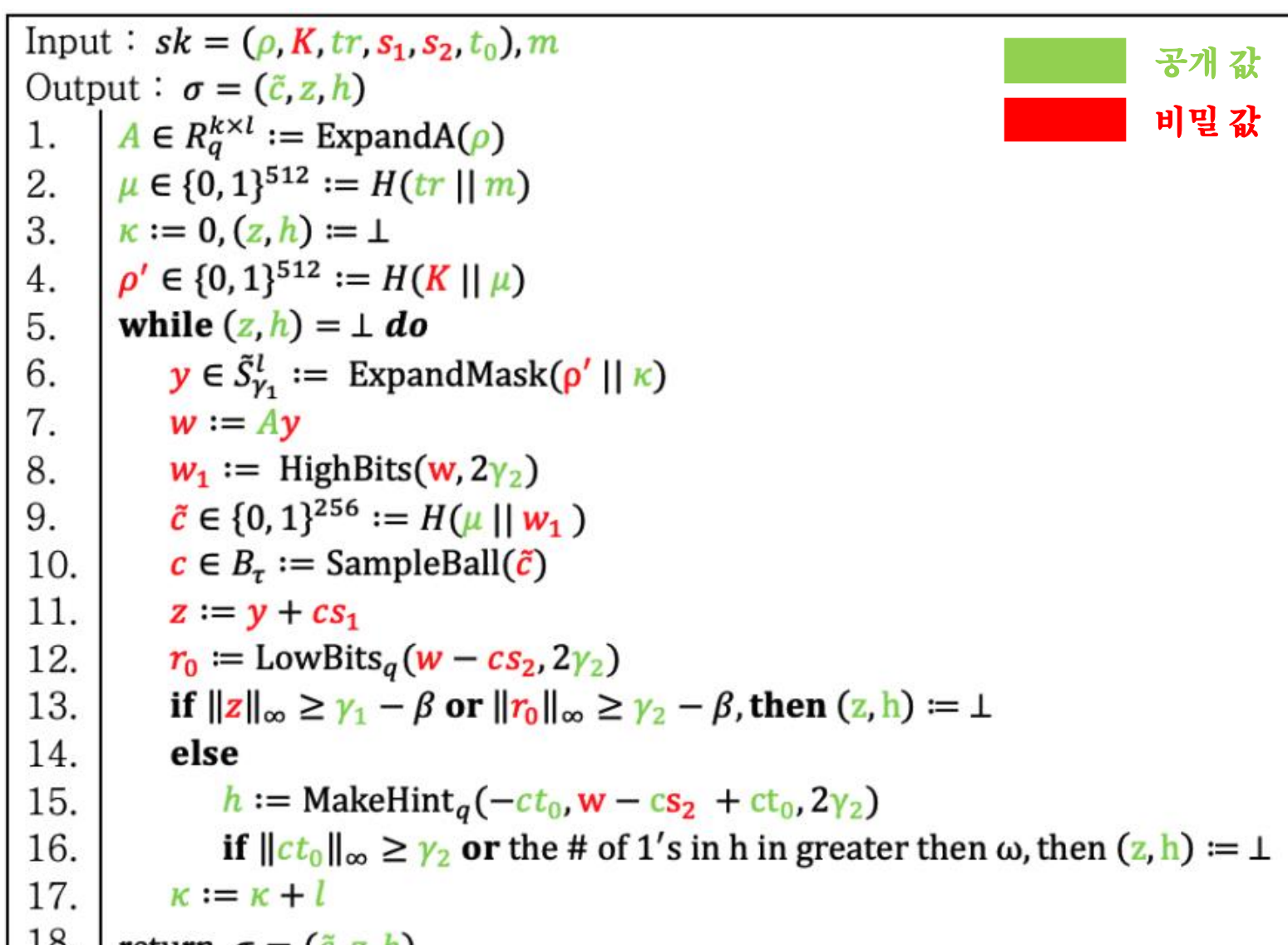


Fig. 1. Key Generation Pseudocode

Fig. 2. Signature Generation Pseudocode

IV. SCA Trends in Signature Generation

- 서명 생성의 경우 키 생성과 다르게 동일한 키에 대해 반복적인 수행이 많다.
- 따라서 다중 수행 공격이 가능하며, 통계적 기법인 CPA나 Template Attack과 같은 공격이 존재한다.

Table 5. Summary SCA Trends in Signature Generation

| Location | Target Function | Attack Method | Countermeasure | Reference |
|----------------------|--------------------|--|----------------|-----------|
| Fig. 2. line 11 | Multiplication | CPA | Masking | [3] |
| Fig. 2. line 11 - 13 | Rejection Sampling | Template with SASCA (Factor Graph, BP Algorithm) | Masking | [4] |

- 서명 생성에서의 CPA 공격[3]은 비밀 값 s_1 을 대상으로 수행되며, Montgomery Modular 곱셈 코드의 2가지 지점을 대상으로 수행된다.
- Rejection Sampling을 대상으로 수행된 Template with SASCA 공격[4]은 거부된 서명(\bar{c})과 유효한 서명 값(c)을 함께 사용하여 비밀 값 s_1 을 복구한다.
- 대응 기법은 Masking의 대한 많은 연구[5, 6]가 진행되었으며 High-Order Masking의 Gadget을 제안하여 부채널 공격에 대응하였다.

Table 6. Summary Representative High-Order Masking Gadget

| Representative Masking Gadget | Location | Role |
|-------------------------------|-------------------------|--|
| ShiftMod | Fig. 2. line 6, line 13 | Masking share bit shift in Sampling vector y |
| SecMult | Fig. 2. line 6, line 13 | Masking share Multiplication |
| LMSwitch | Fig. 2. line 13 | Larger Modular Switch |

V. Conclusion

- Dilithium은 표준으로 선정된 만큼 산업체에서 많은 활용이 요구되기에 부채널 안전성 검증 연구가 꾸준히 진행되고 있다.
- 특히, 대응 기법의 경우 수행 지점마다 요구되는 안전성이 다르며 키 생성의 경우 다소 오버헤드가 낮은 Shuffling을 서명 생성의 경우 안전성이 높은 Masking 대응 기법이 필요하다.
- 이에 따라, 두 대응 기법을 적절히 활용한 효율적인 대응 기법에 대한 연구가 지속적으로 필요하다.

III. SCA Trends in Key Generation

- 키 생성은 통신 초기 과정 및 키 값 변경과 같이 수행되는 횟수가 제한적이다.
- 따라서 단일 수행 공격이 대부분이며, Factor Graph와 BP Algorithm을 사용하는 SASCA(Soft Analytical Side-Channel Attack)과 같은 공격이 다수 존재한다.

Table 2. Summary SCA Trends in Key Generation

| Location | Target Function | Attack Method | Countermeasure | Reference |
|----------------|-----------------|------------------------------------|----------------|-----------|
| Fig. 1. line 2 | H (Keccak) | SASCA (Factor Graph, BP Algorithm) | None | [1] |
| Fig. 1. line 5 | Multiplication | SASCA (Factor Graph, BP Algorithm) | Shuffling | [2] |

- Keccak로 구성되어 있는 H 함수 공격[1]은 Keccak-f 함수의 각 연산 값이 RAM의 저장될 시 발생하는 전력 정보를 사용하여 공격을 수행한다.
- NTT 곱셈 연산 공격[2]은 단일 Cooley-Turkey(CT) 연산을 대상으로 수행한다.

Table 3. Get EM Data and Location

| Location | Store Data |
|------------------------|------------------------------------|
| θ 입력 | 라운드 시작 전 전체 State |
| θ 출력, 폐리티 평면 | θ 계산 결과, θ 중간 XOR 결과 |
| $\pi \cdot \rho$ 입력/출력 | State 위치 이동 및 bit rotation |
| χ 입력/출력 | State 논리 연산 연산 값 |

Fig. 3. Keccak-f Function Structure

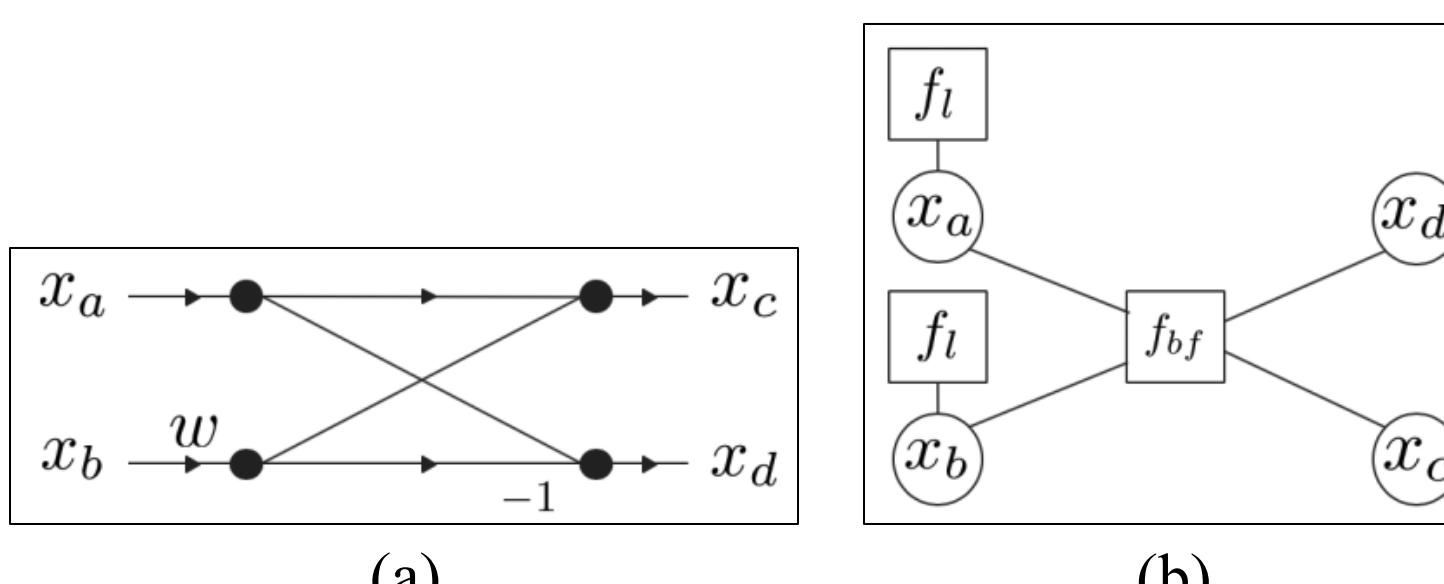


Fig. 4. (a) CT Structure, (b) Factor Graph of CT

Table 4. NTT Shuffling Countermeasure

| 구분 | Coarse-Full | Coarse-In-Group | Fine |
|------|----------------|--------------------|-----------------------------|
| 보안성 | 최대 엔트로피 | 그룹 내 무작위 | Load/Store 무작위 |
| 엔트로피 | $\frac{n}{2}!$ | $(\frac{n}{2m})^m$ | 2^{2n} |
| 사용기법 | Knuth-Yates | 그룹 shuffle | Arithmetic Conditional Swap |

Input : t, c, s

```
Output :  
1. unsigned int i  
2. for(i = 0; i < 256; ++i){  
3.     int64_t a;  
4.     a = (int64_t)c[i]·s[i] Point 1  
5.     t = (int32_t)a·qinv  
6.     t[i] = (a - (int64_t)t·q) >> 32 Point 2  
7. }
```

Fig. 5. Montgomery Modular Multiplication

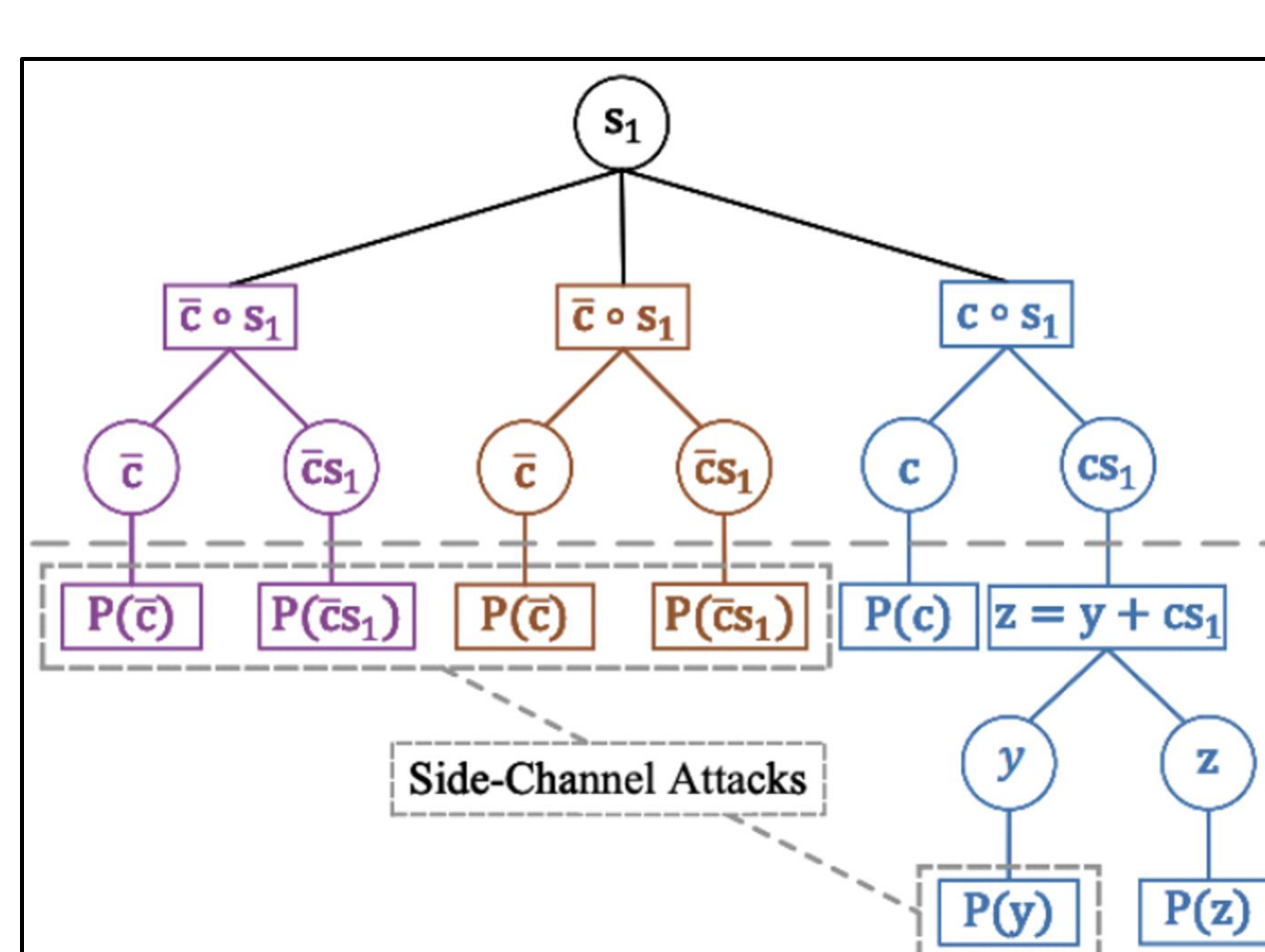


Fig. 6. Factor Graph from Rejection Sampling

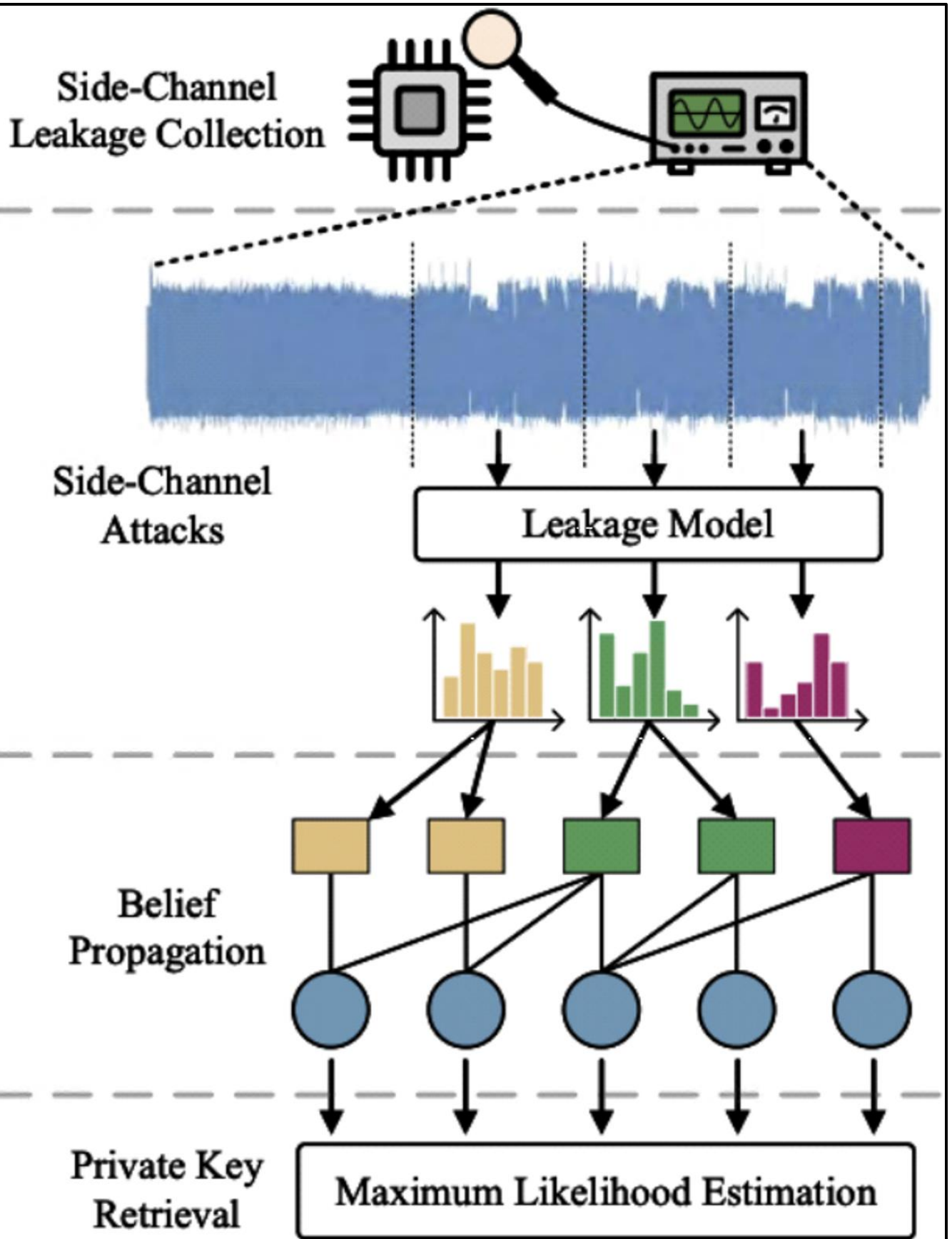


Fig. 7. Template with SASCA Process

[References]

- [1] Matthias J. Kannwischer, et al, "Single-Trace Attacks on Keccak," in TCHES 2020.
- [2] Prasanna Ravi, et al., "On Configurable SCA Countermeasures Against Single Trace Attacks for the NTT," in International Association for Cryptology Research - IACR 2020.
- [3] Zhaoohui Chen, et al, "An Efficient Non-Profiled Side-Channel Attack on the CRYSTALS-Dilithium Post-Quantum Signature," in Institute of Electrical and Electronics Engineers – IEEE 2021.
- [4] Zheng Liu, et al, "Release the Power of Rejected Signatures: An Efficient Side-Channel Attack on Dilithium," in Cryptoprint 2025.
- [5] Jean-Sébastien Coron, et al, "Improved Gadgets for the High-Order Masking of Dilithium," in TCHES 2023.
- [6] Jean-Sébastien Coron, et al, "Improved High-Order Masked Generation of Maksing Vector and Rejection Sampling in Dilithium," in TCHES 2024.